

بِسْمِ اللّٰهِ الرَّحْمٰنِ الرَّحِيمِ

۲۹.۷۹

# دانشگاه صنعتی امیرکبیر (پلی تکنیک تهران)

## دانشکده فیزیک

### پایان نامه دکتری

همانندسازی ترابرد پرتوها با استفاده از کد مانته کارلو EGS4 و محاسبه  
توزیع دوز براساس روش کرنل نقطه‌ای در سیستم‌های پرتودهی گاما

توسط: غلامرضا رئیس‌علی

استاد راهنمای: دکتر مصطفی سهرابی‌پور

استاد مشاور: دکتر محمد فقیه حبیبی

۱۳۷۱

) ۲۶۹۴ (۲

۲۶۷۹

تقدیم به:

همسر عزیزم

که رنج بسیاری را در راه تحقیقات منحمل شدند و  
اگر بردبازی ایشان در تحمل مشکلات نبود این  
پایان نامه هرگز به پایان نمی رسید.

و با سپاس از:

پدر و مادر عزیزم که همواره مشوقم بوده‌اند.

از استاد ارجمند، چناب آقای دکتر مصطفی شهرآبهر  
مدیریت محترم مرکز تابش گامای سازمان انرژی اتمی ایران  
که هدایت این پایان نامه را پذیرفته و در تهیه و تدوین آن  
مرا باری نموده اند، حمیمه از تشرک و سپاسگزاری می نمایم.

از گلیه همکارانم در مرکز تابش گاما، سرگار خانم  
عبدیقه دلدار، آقای مهندس حمیدرضا هنرخواه، آقای  
علی اکبر کاظمی موحد، آقای علی سرلک، پرسنل محترم  
کارگردانی، و خانم معصومه اصغری که هریک به نحوی در  
پیشرفت این چروزه را باری کرده‌اند و همچنین از آقای  
مهندس فرشاد قشلاقی کمال تشکر را دارم. از آقای مهندس  
فریدون صفائی که نسخه‌ای از گذگامپیوتري EGS4 را تهیه  
نمودند و همچنین از پرسنل محترم مرکز محاسبات دانشگاه  
صنعتی امیرکبیر، تشکر می‌نمایم. ضمناً از سرگار خانم  
پروین پرچگانی که در تایپ این پایان‌نامه زحمات بسیاری  
را متحمل شده‌اند، سپاسگزارم.

## همانندسازی ترابرد پرتوها با استفاده از کد مانته کارلو EGS4 و محاسبه

### توزیع دوز براساس روش کرنل نقطه‌ای در سیستم‌های پرتودهی گاما

## چکیده

شناخت صحیح توزیع فضایی دوز در سیستم‌های پرتودهی گاما بدلایل فنی، حقوقی و اقتصادی از اهمیت زیادی برخوردار است. در عمل، اندازه‌گیری دوز معمولاً دچار مشکلاتی نظیر غیرهمگونی مواد تشکیل دهنده دوزسنج با محصول مورد پرتودهی و یا در دسترس نبودن محل دوزسنجی می‌باشد. از طرفی در مرحله طراحی سیستم‌های پرتودهی باید توزیع دوز را از طریق انجام محاسبات بدست آورد و بدین منظور دسترسی به یک مجموعه برنامه‌های کامپیوتری جهت محاسبه توزیع دوز اجتناب‌ناپذیر است.

در این پژوهه مجموعه‌ای از برنامه‌های کامپیوتری براساس روش‌های کرنل نقطه‌ای و مانته کارلو، بمنظور انجام محاسبات سیستم‌های پرتودهی با هندسه‌های دکارتی، استوانه‌ای و مرکب تدوین گردیده‌اند. در برنامه‌های تدوین شده براساس روش مانته کارلو، کد کامپیوتری EGS4 در ایران برای اولین بار بکار گرفته شده است. ضمناً از روش مانته کارلو بمنظور همانندسازی ترابرد پرتوها در سیستم‌های پرتودهی، برای نخستین بار در دنیا استفاده شده است.

کد کامپیوتری EGS4 همراه با یک کد کاربر بخصوص مورد استفاده قرار می‌گیرد. کدهای کاربری که در این پایان‌نامه بمنظور همانندسازی ترابرد پرتوها در سیستم‌های پرتودهی گاما با تقارن‌های هندسی استوانه‌ای، دکارتی و مرکب تدوین گردیده‌اند بترتیب عبارتند از: GCELL5، DOSMAPM و DOSMAPC2. همچنین برنامه DOSMAP3 براساس روش کرنل نقطه‌ای بمنظور محاسبه توزیع نرخ دوز در سیستم‌های پرتودهی قفسه‌ای تدوین گردیده است. علاوه بر این برنامه کامپیوتری CYLDETM به عنوان کد کاربر بمنظور همانندسازی تغییرات دوز در نزدیکی مرز ناهمگنی‌های موجود در سیستم‌های پرتودهی، تدوین گردیده است. همچنین برای محاسبه دوز جنبی در محصولات با چگالی‌های متفاوت، مجموعه‌ای از برنامه‌های کامپیوتری با عنوان PRODMIX تدوین شده است.

نتایج بدست آمده از محاسبات با دوزسنجی تجربی مورد ارزیابی قرار گرفته‌اند و توافق بین نتایج محاسبات و اندازه‌گیری رضایت‌بخش است. اندازه‌گیری‌های تجربی در سیستم‌های پرتودهی IR-136 و GC-220 موجود در مرکز تابش گامای سازمان انرژی اتمی ایران انجام شده است. در اندازه‌گیری‌ها از سیستم‌های دوزسنجی فریک، پرسپکس شفاف و فیلم‌های Gaf-Chromic استفاده شده است. کدهای کامپیوتری تدوین شده را می‌توان در طراحی، ارزشیابی عملکرد و بهینه‌سازی کارگردانی سیستم‌های پرتودهی گاما، کنترل مقطعی دوز و کامپیوتری کردن کنترل سیستم‌های پرتودهی مورد استفاده قرار داد.

**Radiation Transport Simulation in Gamma Irradiator Systems Using EGS4 Monte Carlo Code and Dose Mapping Calculations Based on Point Kernel Technique.**

## **ABSTRACT**

For technical, legal and economical considerations, dose distribution is one of the most important operational parameters of gamma irradiator systems. In practice, the dose measurements may be met with certain degree of difficulty when dissimilar dosimeter material and product, or nonaccessibility of the desired dosimetry position is encountered. On the other hand for irradiator design purposes, dose distribution may be obtained by mathematical modelling of the radiation transport and dose distribution in the irradiator systems.

In this project a series of computer codes based on point kernel technique and also Monte Carlo method have been developed. These codes perform radiation transport calculations for irradiator systems having cartesian, cylindrical and mixed geometries. In this work in the Monte carlo calculations, the computer code "EGS4" has been applied to a radiation processing type Problem. This code has to be accompanied by a specific user code. The set of codes developed include: GCELL5, DOSMAPM, DOSMAPC2 which simulate the radiation transport in gamma irradiator systems having cylindrical, cartesian, and mixed geometries, respectively. The program "DOSMAP3" based on point kernel technique, has been also developed for dose rate mapping calculations in carrier type gamma irradiators. Another computer program "CYLDETM" as a user code for EGS4 has been also developed to simulate dose variations near the interface of heterogeneous media in gamma irradiator systems. In addition a system of computer codes "PRODMIX" has been developed which calculates the absorbed dose in the products with different densities.

Validation studies of the calculated results versus experimental dosimetry has been performed and good agreement has been obtained. The experimental verification has been carried out at the radiation facilities, IR136 and GC-220, of the Gamma Irradiation Center (GIC)of Atomic Energy Organization of Iran (AEOI). The dosimetry systems utilized included Fricke, clear perspex and Gaf-Chromic films. The developed computer codes may be applied to irradiator design, irradiator performance assessment, irradiator operation optimization, incremental product dose monitoring and irradiator computer control tasks.

# فهرست مطالب

## صفحه

## عنوان

چکیده فارسی

چکیده انگلیسی

|   |
|---|
| فصل اول: مقدمه ..... ۱  |
| ۱ - ۱ - مقدمه: سیستم‌های پرتودهی گاما ..... ۱   |
| ۱ - ۲ - مشخصه‌های مهم سیستم‌های پرتودهی گاما و پارامترهای طراحی آنها ..... ۴                  |
| ۱ - ۳ - انگیزه‌های اجرای پروژه و مطالب مندرج در پایان‌نامه ..... ۷                            |
| فصل دوم: ترابرد پرتوها ..... ۱۱   |
| ۱ - ۱ - مقدمه: معادله ترابرد بلترمن ..... ۱۱  |
| ۱ - ۲ - ضریب تأثیر پراکندگی و بکارگیری آن در کرنل نقطه‌ای دوز جذبی ..... ۱۴                   |
| ۱ - ۳ - همانندسازی ترابرد پرتوها با روش مانه کارلو ..... ۲۰                                   |
| ۲ - ۱ - متغیرهای تصادفی ..... ۲۲  |
| ۲ - ۲ - قضیه حد مرکزی نظریه احتمالات و کاربرد آن در روش مانه کارلو ..... ۲۵                   |
| ۲ - ۳ - ۱ - تولید اعداد شبه تصادفی یکواخت بین صفر و یک و تست‌های آماری مربوط به آنها ..... ۲۷ |
| ۲ - ۳ - ۲ - ساختن متغیرهای تصادفی نایپوسته ..... ۲۸   |
| ۲ - ۳ - ۳ - ساختن متغیر تصادفی پیوسته با استفاده از روش مستقیم ..... ۲۹                       |
| ۲ - ۳ - ۶ - ساختن متغیر تصادفی پیوسته با استفاده از روش طرد ..... ۳۰                          |
| ۲ - ۳ - ۷ - ساختن متغیر تصادفی پیوسته با استفاده از روش تجزیه ..... ۳۱                        |
| ۲ - ۳ - ۸ - مراحل مختلف در ترابرد پرتوها با روش مانه کارلو ..... ۳۲                           |

## عنوان

## صفحه

|                  |   |
|------------------|---|
| ۳۳ ..... ۱-۸-۳-۲ | - تعیین پارامترهای ذرات تاییده شده از چشم                 |
| ۳۷ ..... ۲-۸-۳-۲ | - تعیین فاصله تا محل برخورد و تعیین نوع اندرکنش           |
| ۳۹ ..... ۳-۸-۳-۲ | - پارامترهای ذره پس از برخورد                             |
| ۴۳ ..... ۹-۳-۲   | - روش‌های غیر تشییه‌ی در تراپرید پرتوها با روش مانه کارلو |
| ۴۵ ..... ۴-۴-۲   | - سیستم کد کامپیوتری EGS4                                 |
| ۴۶ ..... ۱-۴-۲   | - اندرکنش‌هایی که در EGS4 همانندسازی می‌شوند              |
| ۴۸ ..... ۲-۴-۲   | - مروری کلی بر همانندسازی فیزیکی در کد EGS4               |
| ۴۹ ..... ۳-۴-۲   | - تراپرید ذرات در کد EGS4                                 |
| ۵۱ ..... ۴-۴-۲   | - نحوه بکارگیری کد EGS4                                   |

## فصل سوم: همانندسازی قرابود پرتوها در سیستم‌های پرتوودهی

|                             |   |
|-----------------------------|---|
| ۵۴ ..... باقمارن استوانه‌ای | -   |
| ۵۵ ..... ۱-۳                | - سیستم پرتوودهی آزمایشگاهی Gammacell 220                                 |
| ۶۲ ..... ۲-۳                | - کالیبراسیون سیستم پرتوودهی GC-220 و دوزسنج‌های پرسپکس شفاف و GAF.       |
| ۷۱ ..... ۳-۳                | - معرفی کد GCELL5 و استفاده از آن بنظرور همانندسازی سیستم پرتوودهی GC-220 |
| ۷۴ ..... ۴-۴                | - نتایج بدست آمده از کد کامپیوتری GCELL5 و مقایسه آنها با نتایج تحریبی    |

## فصل چهارم: همانندسازی سیستم‌های پرتوودهی با نثارن دکارتی

|               |  |
|---------------|--|
| ۹۵ ..... ۱-۴  | - مقدمه  |
| ۹۶ ..... ۲-۴  | - سیستم پرتوودهی IR-136                                  |
| ۱۰۳ ..... ۳-۴ | - تدوین برنامه کامپیوتری DOSMAP3 و نتایج بدست آمده از آن |

## عنوان

## صفحه

|   |
|---|
| ۴-۴ - تدوین برنامه کامپیوتری DOSMAPM و نتایج بدست آمده از آن ..... ۱۲۲  |
| ۴-۵ - مقایسه نتایج برنامه های DOSMAP3 و DOSMAPM با نتایج دوزسنجی و همچنین نتایج گزارش شده شرکت سازنده سیستم پرتوودهی IR-136 ..... ۱۴۵ |

|  |
|--|
| فصل پنجم: همانندسازی سیستم های پرتوودهی سگونی با تقارن مرکب دکارتی = استوانه ای ..... ۱۵۶                |
| ۱-۱ - مقدمه ..... ۱۵۶  |
| ۱-۲ - معرفی سیستم پرتوودهی Shihoro، سیستمی با تقارن مرکب دکارتی - استوانه ای ..... ۱۵۷                   |
| ۱-۳ - برنامه کامپیوتری DOSMAPC2 ..... ۱۶۰  |
| ۱-۴ - نتایج بدست آمده از همانندسازی سیستم پرتوودهی سیب زمینی Shihoro با استفاده از کد DOSMAPC2 ..... ۱۶۳ |

|  |
|--|
| فصل ششم: تدوین برنامه کامپیوتری CYLDETM و سیستم برنامه های کامپیوتری PRODMIX ..... ۱۸۴ |
| ۶-۱ - تدوین برنامه کامپیوتری CYLDETM ..... ۱۸۵   |
| ۶-۲ - تدوین سیستم کدهای کامپیوتری PRODMIX ..... ۱۹۳                                    |

|   |
|---|
| فصل هفتم: نتایج و پیشنهادها ..... ۱۹۷   |
| ۷-۱ - نتایج بدست آمده از همانندسازی سیستم های پرتوودهی گاما با تقارن استوانه ای ..... ۱۹۸ |
| ۷-۲ - نتایج بدست آمده از همانندسازی سیستم های پرتوودهی گاما با تقارن دکارتی ..... ۱۹۹     |
| ۷-۲-۱ - نتایج بدست آمده از برنامه کامپیوتری DOSMAP3 ..... ۱۹۹                             |
| ۷-۲-۲ - نتایج بدست آمده از برنامه کامپیوتری DOSMAPM ..... ۲۰۰                             |

## عنوان

## صفحه

|   |     |
|---|-----|
| ۳-۲-۷ - مقایسه نتایج بدست آمده از همانندسازی سیستم‌های پرتودهی            | ۱۰۱ |
| با تقارن دکارتی .....   |     |
| ۷-۳ - نتایج بدست آمده از همانندسازی سیستم‌های پرتودهی سکوئی با تقارن مرکب | ۱۰۲ |
| دکارتی - استوانه‌ای .....   |     |
| ۷-۴ - تأثیر پرتوهای پسپراکنده شده از حفاظ در پارامترهای مختلف سیستم‌های   | ۱۰۴ |
| پرتودهی 220 ، GC-220 و IR-136   |     |
| ۷-۵ - نتایج بدست آمده از برنامه CYLDETM                                   | ۱۰۶ |
| ۷-۶ - نتایج بدست آمده از مجموعه برنامه‌های PRODMIX                        | ۱۰۶ |
| ۷-۷ - پیشنهادها .....   | ۱۰۷ |
| پیوست: لیست برنامه کامپیوتری GCELL5                                       | ۱۰۸ |
| مراجع .....   | ۲۲۱ |

# فصل اول

## مقدمه

### ۱- مقدمه: سیستم‌های پرتودهی گاما

از زمانیکه روتگن (Roentgen) در سال ۱۸۹۵ پرتوهای ایکس و بکرل (Bequerel) در سال ۱۸۹۶ رادیواکتیویته را کشف کردند، بشر همواره در فکر بهره‌برداری و استفاده از خواص ویژه پرتوهای یونساز بوده است. یکی از کاربردهای این پرتوها، استفاده از آنها در صنعت نسبتاً جوان پرتو فرآیند (Radiation Processing) می‌باشد. این صنعت در اوایل دهه ۱۹۶۰ معرفی گردید. در این روش صنعتی با استفاده از پرتودهی مواد با دوزهای جذبی بالا سه کاربرد عمدهٔ پرتو فرآیند عبارتند از:

۱ - سترون کردن محصولات پزشکی

۲ - پرتودهی مواد غذائی

۳ - اصلاح مواد پلیمری

سترون کردن محصولات پزشکی توسط پرتوها در دهه ۱۹۷۰ بشدت مورد توجه قرار گرفت و هم‌اکنون این روش از متداول‌ترین روشهای سترون کردن محصولات پزشکی است (۱). در صنعت پرتو فرآیند از سیستم‌های پرتودهی گاما، سیستم‌های پرتودهی الکترونی و سیستم‌های پرتودهی با اشعه ایکس ترمزی (Bremsstrahlung X-ray) استفاده می‌شود. با وجود

اینکه امروزه سیستم‌های پرتودهی با اشعه ایکس ترمی با نرخ تولید<sup>۱</sup> و میزان غیریکتواختی دوز<sup>۲</sup> مناسب، طراحی و ساخته می‌شوند<sup>(۲)</sup> ولی این سیستم‌ها هنوز به علت پیچیدگی و کارآئی پایین، سیستم‌های در حال تحقیق و توسعه محسوب می‌شوند. سیستم‌های پرتودهی الکترونی نیز نسبت به سیستم‌های پرتودهی گاما پیچیده‌تر بوده و فقط در مورد پرتودهی کالاهای با ضخامت کم و در بسته‌بندی‌های کوچک کاربرد دارند<sup>(۳)</sup>. پیچیدگی تکنولوژیک سیستم‌های پرتودهی گاما نسبت به انواع دیگر کمتر بوده و از طرفی تنها عامل مهم در تعیین دوز جذب شده در محصول تحت تابش، زمان پرتودهی می‌باشد که به همین دلیل استفاده و کارگردانی این نوع سیستم‌ها نسبتاً آسان می‌باشد. از این‌رو سیستم‌های پرتودهی گاما نسبت به سایر سیستم‌ها، مورد استفاده بیشتری دارند و بیش از نود و پنج درصد سیستم‌های پرتودهی موجود دنیا از این نوع می‌باشند. سیستم‌های پرتودهی رایج بیشتر از نوع جعبه‌ای<sup>(۴)</sup> می‌باشند. این نوع سیستم‌های پرتودهی از یک چشم‌پرتوزا، محل نگهداری چشم‌پرتوزا، سازوکار پرتودهی (Source Pass Mechanism)، سیستم نقاله برای انتقال محصول به داخل و خارج فضای پرتودهی، حفاظ پرتو (Radiation Shield) و انبارهای ورود و خروج کالا تشکیل شده‌اند. در سیستم‌های پرتودهی گاما، ترجیحاً از چشم‌های  $^{60}\text{Co}$  و  $^{137}\text{Cs}$  استفاده می‌شود<sup>(۴)</sup>. دلایل استفاده از این دو چشم‌های پرتودهی گاما را می‌توان بصورت زیر خلاصه کرد:

- ۱ - اطلاع دقیق از میزان فعالیت (Activity) و طولانی بودن نیمه عمر آنها
- ۲ - بالا بودن نرخ تولید آنها در راکتورهای هسته‌ای
- ۳ - ساده بودن بیناب انرژی
- ۴ - پایدار بودن هسته دختر حاصل از واپاشی آنها و امکان تعیین دقیق فعالیت آنها با استفاده از رابطه ساده  $A = A_0 e^{-\lambda t}$
- ۵ - ثابت ماندن بیناب تابشی آنها با گذشت زمان

۱) Throughput

(بخش ۲-۱)

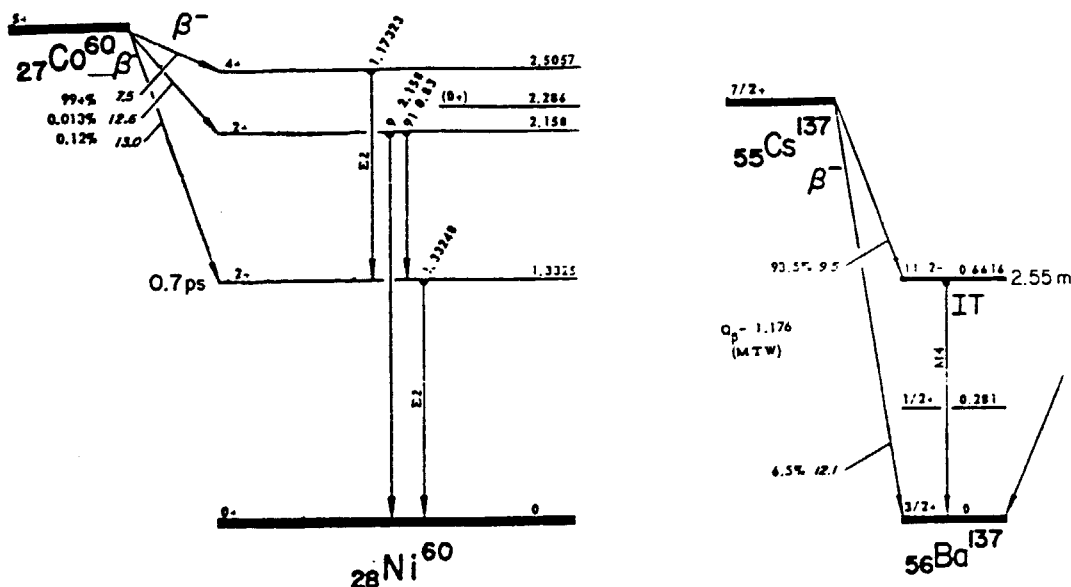
۲) Dose non-uniformity ratio

(بخش ۲-۱)

۳) Carrier type gamma irradiator

کیالت شصت از طریق پرتو دهی  $^{59}\text{Co}$  که یک ایزوتوپ پایدار می باشد در شار نوترونی  $10^{10} \text{n/cm}^2/\text{s}$  تا  $10^{15} \text{n/cm}^2/\text{s}$  که در رآکتورهای هسته ای وجود دارد، بدست می آید. نیمه عمر کیالت شصت ۲۷۱۴ سال است (۵) و این ایزوتوپ با گسیل یک پرتو  $\beta^-$  به حالت برانگیخته  $^{60}\text{Ni}$  و اپاشیده شده و بدنیال آن  $^{60}\text{Ni}$  با تابش دو پرتوی گاما ای ۱۷ MeV و ۱/۲۳ MeV واپاشیده شده و بدنیال آن  $^{60}\text{Ni}$  با احتمال تقریباً صدر صد (۶) به هسته پایدار  $^{60}\text{Ni}$  تبدیل می گردد.

سزیم - ۱۳۷ یکی از پاره های حاصل از شکافت  $^{235}\text{U}$  است که هنگام کار یک رآکتور هسته ای مقادیر بسیار زیادی از این ایزوتوپ فعال تولید می شود که پس از جداسازی بصورت کلرید سزیم مورد استفاده قرار می گیرد. نیمه عمر  $^{137}\text{Cs}$  ۳۰ سال است (۵) که از طریق تابش پرتوی  $\beta^-$  هسته برانگیخته  $^{137}\text{Ba}$  و اپاشیده شده، بدنیال آن یک پرتوی گاما با انرژی ۶۶۲ MeV از هسته  $^{137}\text{Ba}$  انتشار می یابد. شما و اپاشی  $^{137}\text{Cs}$  در شکل ۱-۱-الف و شما و اپاشی  $^{60}\text{Co}$  در شکل ۱-۱-ب نشان داده شده اند.



شکل ۱-۱-ب - شما و اپاشی  $^{60}\text{Co}$

شکل ۱-۱-الف - شما و اپاشی  $^{137}\text{Cs}$

در اکثر سیستم‌های پرتو دهی گاما از چشم‌های کبات شست استفاده می‌شود. مجموعه میله‌های کبات شست با پوشش فولاد ضد زنگ، چشم‌های پرتو زارا تشکیل می‌دهند. آرایه میله‌های کبات در چشم‌های باید بگونه‌ای باشد که بیشترین کارآئی را برای استفاده از پرتوهای گاما جهت پرتو دهی داشته باشد. برای داشتن کارآترین آرایه، محصولات باید چشم‌های گاما را پوشانند (Product Overlap) اما از آنجایی که در بعضی کاربردها، افزایش هزینه سیستم نقاله از میزان کاهش هزینه چشم‌های بیشتر است، سیستم را به صورت چشم‌های بلندتر از محصول (Source Overlap) نیز طراحی می‌کنند (۷).

سیستم‌های پرتو دهی معمولاً توسط حفاظتی به ضخامت حدود ۲ متر بتوان معمولی و یا ضخامت مناسبی از سرب احاطه می‌گردند. حفاظت، میزان تابش در بیرون سیستم را تا حد مجاز کاهش می‌دهد و علاوه بر آن بخاطر پس پراکنده کردن پرتوها (Back-Scattering) کارآئی سیستم نیز مختصر آغاز می‌یابد.

## ۱-۲- مشخصه‌های مهم سیستم‌های پرتو دهی گاما و پارامترهای طراحی آنها

از مشخصه‌های مهم سیستم‌های پرتو دهی، میزان غیر یکنواختی<sup>۱</sup> دوز در محصول پرتو دیده، کارآئی و نرخ تولید این سیستم‌ها می‌باشند (۸).

هنگامی که یک محصول در سیستم پرتو دهی تحت تابش قرار می‌گیرد، کلیه قسمتهای آن، دوز یکسانی را دریافت نمی‌کنند. در سیستم‌هایی که آرایه میله‌های چشم‌های یک صفحه را تشکیل می‌دهند، دوز جذبی بیشترین تغییرات را در صفحه عمود بر صفحه چشم‌های نشان می‌دهد. منحنی‌های همدوز (Isodose Curves) در صفحه‌ای عمود بر صفحه چشم‌های این تغییرات را به خوبی بیان می‌کنند. شکل ۱-۲ منحنی‌های همدوز در یک جعبه محصول پرتو دیده در یک سیستم نمونه را نشان می‌دهد (۹). نسبت دوز بیشینه به دوز کمینه جذب شده در محصول نسبت غیر یکنواختی نامیده می‌شود. به عنوان مثال، نسبت غیر یکنواختی دوز در محصولی که توزیع دوز آن در شکل ۱-۲ مشاهده می‌شود، برابر با  $D_{\max}/D_{\min} = \frac{1.17}{0.90} = 1.30$  است.

(۱) این نسبت را نسبت یکنواختی و در مواردی Overdose Ratio نیز می‌نامند.